

УДК 539.3+519.6

**ШАГОВЫЙ МЕТОД ЧИСЛЕННОГО ОБРАЩЕНИЯ  
ПРЕОБРАЗОВАНИЯ ЛАПЛАСА  
НА УЗЛАХ СХЕМЫ РУНГЕ – КУТТЫ С ИСПОЛЬЗОВАНИЕМ  
ПЕРЕМЕННОГО ШАГА ИНТЕГРИРОВАНИЯ\***

© 2013 г.

**Л.А. Игумнов, Я.Ю. Ратаушко**

*НИИ механики Нижегородского государственного университета им. Н.И. Лобачевского*

igumnov@mech.unn.ru

*Поступила в редакцию 14.11.2013*

Статья посвящена развитию шаговых по времени методов численного обращения преобразования Лапласа, основанных на теореме операционного исчисления об интегрировании оригинала. Возникающая шаговая схема определяется выбором квадратурной формулы с ключом и схемой численного решения задачи Коши, порождаемой интегралом Вольтерра. Квадратурная формула с ключом возникает из условий интегрирования сильно осциллирующих функций. Предложенный метод продемонстрирован на построении оригиналов решений одномерной поропругой задачи.

*Ключевые слова:* обращение преобразования Лапласа, шаговый метод, схема Рунге – Кутты, интегрирование сильно осциллирующих функций, одномерная поропругая задача.

**Введение**

В работах [1–3] предложен оригинальный подход к построению шаговых по времени схем метода граничных элементов. Ключевой проблемой построения такой схемы [3–5] является численное обращение интегрального преобразования Лапласа. В работах [6–8] применен шаговый метод численного обращения преобразования Лапласа. В работе [9] приводится модификация метода с переменным шагом интегрирования при подсчете весовых множителей квадратурной суммы. Расширение шагового метода дают также работы [10, 11], предлагающие использование схем Рунге – Кутты для решения задачи Коши, порожденной специальной процедурой обращения преобразования Лапласа. В статье рассматривается обобщение подходов [6–11].

---

\* Выполнено при частичном финансировании Программой государственной поддержки ведущих научных школ РФ (грант НШ-593.2014.8) и РФФИ (гранты 14-08-31415-мол\_а, 14-08-31410-мол\_а, 14-08-00811-А, 12-08-00984-а, 13-08-97091-р\_поволжье\_а, 12-01-00698-а, 13-08-00658-а).

## Постановка задачи и метод решения

Прямое и обратное интегральные преобразования Лапласа соответственно определяются формулами:

$$\bar{f}(s) = \int_0^{\infty} f(t)e^{-st} dt,$$

$$f(t) = \frac{1}{2\pi i} \int_{\tilde{\omega}-i\infty}^{\tilde{\omega}+i\infty} \bar{f}(s)e^{st} ds,$$

где  $s = \tilde{\omega} + i\omega$  – комплексная переменная, введенная в полуплоскости  $\tilde{\omega} > \tilde{\omega}_0$ .

Рассмотрим метод, опирающийся на теорему об интегрировании оригинала, – шаговый метод численного обращения преобразования Лапласа.

Пусть

$$f(t) = \int_0^t \tilde{f}(\tau) d\tau. \quad (1)$$

Заменим интеграл (1) квадратурной суммой, весовые множители которой определяются с помощью изображения по Лапласу  $\bar{f}$  и линейного многошагового метода (с учетом результатов, полученных в [1–3]):

$$f(0) = 0, \quad f(n\Delta t) = \sum_{k=1}^n \omega_k(\Delta t), \quad n = 1, \dots, N, \quad (2)$$

где

$$\omega_n(\Delta t) = \frac{R^{-n}}{L} \sum_{l=0}^{L-1} \bar{f}(s) s e^{-inl\frac{2\pi}{L}}, \quad s = \frac{\gamma(z)}{\Delta t}, \quad z = R e^{i\varphi}, \quad \varphi = 2\pi \frac{l}{L}, \quad (3)$$

$L$  – количество расчетных узлов для численного интегрирования по углу  $\varphi$ ,  $R$  – параметр метода.

Аппроксимация, используемая при выводе формул (2), (3), основана на применении линейного многошагового метода (с характеристической функцией  $\gamma(z)$ ) для решения возникающей в процессе преобразования интеграла (1) задачи Коши для дифференциального уравнения первого порядка:

$$\frac{d}{dt} x(t) = sx(t) + C, \quad x(0) = 0. \quad (4)$$

На выбор многошагового метода налагаются следующие условия: метод должен быть порядка точности  $p \geq 1$ , являясь строго нуль-устойчивым или  $A$ -устойчивым. Функция  $\bar{f}(s)$  должна быть ограничена в правой полуплоскости относительно прямой  $(c - i\infty, c + i\infty)$ , то есть:

$$|\bar{f}(s)| \leq K |s|^{-\mu} \text{ при } K < \infty, \mu > 0.$$

Если функция  $\bar{f}(s)$  аналитична и ограничена в области  $|\arg(s - c)| < \pi - \tilde{\varphi}$ , где  $\tilde{\varphi} < \pi/2$ , критерий устойчивости может быть ослаблен до  $A(\alpha)$ -устойчивости.

К соответствующим примерам многошаговых методов относятся методы дифференцирования назад порядка  $p \leq 6$ : для  $A$ -устойчивого метода дифференцирования назад второго порядка ( $\alpha = 90^\circ$ ) можем записать:

$$\gamma(z) = 3/2 - 2z + z^2/2.$$

При условии того, что функция  $\bar{f}(s)$  в уравнении (3) вычисляется с некоторой погрешностью  $\varepsilon$ , выбор  $L = N$  и  $R^n = \sqrt{\varepsilon}$  допускает погрешность вычисления  $\omega_n$  порядка  $O(\sqrt{\varepsilon})$ .

### Модификация шагового метода с переменным шагом интегрирования по углу

Модификация формулы (3) для вычисления  $\omega_n$  с переменным шагом и линейной аппроксимацией функции выглядит следующим образом:

$$\omega_n(\Delta t) = \frac{R^{-n}}{2\pi} \sum_{k=0}^{L-1} \left[ \bar{f}(s_k) s_k e^{-in\varphi_k} + \bar{f}(s_{k+1}) s_{k+1} e^{-in\varphi_{k+1}} \right] \frac{\varphi_{k+1} - \varphi_k}{2}, \quad s_k = \frac{\gamma(Re^{i\varphi_k})}{\Delta t}. \quad (5)$$

Для случаев когда  $\bar{f}(s)/e^{in\varphi}$  – сильно осциллирующая функция, в сочетании с (5) целесообразно использовать комбинированную формулу, учитывающую специфику интегрирования таких функций [9]:

$$\begin{aligned} \omega_n(\Delta t) = & \frac{R^{-n}}{2\pi} \sum_{k=0}^{L-1} \frac{\varphi_{k+1} - \varphi_k}{2} e^{-in\frac{\varphi_k + \varphi_{k+1}}{2}} \left[ D_1(w) \bar{f}(s_k) s_k + D_2(w) \bar{f}(s_{k+1}) s_{k+1} \right], \quad s_k = \frac{\gamma(Re^{i\varphi_k})}{\Delta t}, \\ w = -n \frac{\varphi_{k+1} - \varphi_k}{2}, \quad D_{1,2}(w) = & \begin{cases} \frac{\sin w}{w} \pm \frac{w \cos w - \sin w}{w^2} i & \text{при } |w| > w_2, \\ e^{\mp wi} & \text{при } |w| \leq w_2. \end{cases} \end{aligned} \quad (6)$$

Формулы (5), (6) позволяют перераспределять расчетные узлы по промежутку изменения  $\varphi$  для получения большей точности результата при сохранении вычислительных затрат.

### Модификация шагового метода на узлах схемы Рунге – Кутты

Рассмотрим метод Рунге – Кутты, записанный с помощью таблицы Бутчера:

$$\frac{c|A^T}{b^T}, \quad A \in R^{m \times m}, \quad b, c \in R^m.$$

Для корректной формулировки шаговой схемы должны быть выполнены следующие условия [11]:

- 1) метод Рунге – Кутты должен быть  $A$ -устойчивым;
- 2)  $|R(z)| < 1$  при  $y \neq 0$ , где  $R(z) = 1 + zb^T(I - zA)^{-1}[1]$  – функция устойчивости,  $[1] = (1, \dots, 1)^T$ ;
- 3)  $R(\infty) = 0$ ;
- 4)  $\exists A^{-1}$ .

Если принять  $b^T A^{-1} = (0, \dots, 0, 1)$ , то метод автоматически  $L$ -устойчив.

Применяя метод Рунге – Кутты вместо линейного многошагового метода для решения задачи Коши (4), получим [11]:

$$\begin{aligned} f_0 = 0, \quad f_n = b^T A^{-1} \sum_{k=1}^n \omega_k(\Delta t), \quad n = 1, \dots, N, \\ \omega_n(\Delta t) = \frac{R^{-n}}{L} \sum_{l=0}^{L-1} \bar{f}(s) s e^{-inl\frac{2\pi}{L}}, \quad s = \frac{\gamma(z)}{\Delta t}, \quad z = Re^{il\frac{2\pi}{L}}, \\ \gamma(z) = A^{-1} - zA^{-1}[1]b^T A^{-1}. \end{aligned}$$

Формулы (5), (6) сохраняют свой формальный вид и в случае схемы обращения преобразования Лапласа на основе метода Рунге – Кутты, но в них используется соответствующая матричная характеристическая функция.

В качестве конкретного примера схемы Рунге – Кутты, удовлетворяющей сформулированным условиям, выберем схему Радо [11].

### Численные результаты

Решена задача о действии осевой силы  $F = 1 \text{ Н/м}^2$  на пороупругий стержень [3]. Отклики перемещений и давлений, вызванные силой  $F$ , наблюдаются соответственно в точках  $y=3 \text{ м}$  и  $y=0 \text{ м}$  для стержня длиной  $l=3 \text{ м}$ . Численные результаты получены для материала с параметрами: упругие модули материала  $K = 4,8 \cdot 10^9 \text{ Н/м}^2$ ,  $G = 7,2 \cdot 10^9 \text{ Н/м}^2$ ; объемные модули скелета и наполнителя  $K_s = 3,6 \cdot 10^{10} \text{ Н/м}^2$ ,  $K_f = 3,3 \cdot 10^9 \text{ Н/м}^2$ ; плотности скелета и наполнителя  $\rho_s = 2458 \text{ кг/м}^3$ ,  $\rho_f = 1000 \text{ кг/м}^3$ ; коэффициент проницаемости  $k = 1,9 \cdot 10^{-10} \text{ м}^4/(\text{Н}\cdot\text{с})$ ; коэффициент пористости  $\phi = 0,19$ . Выберем отрезок времени  $0,02 \text{ с}$ , что составляет приблизительно  $5,5$  периода функций по времени. Для обращения преобразования Лапласа использован коэффициент  $R = 0,997$ . На рис. 1, 2 приведены соответственно вид действительной ( $\Re$ ) и мнимой ( $\Im$ ) частей спектра перемещений и давлений.

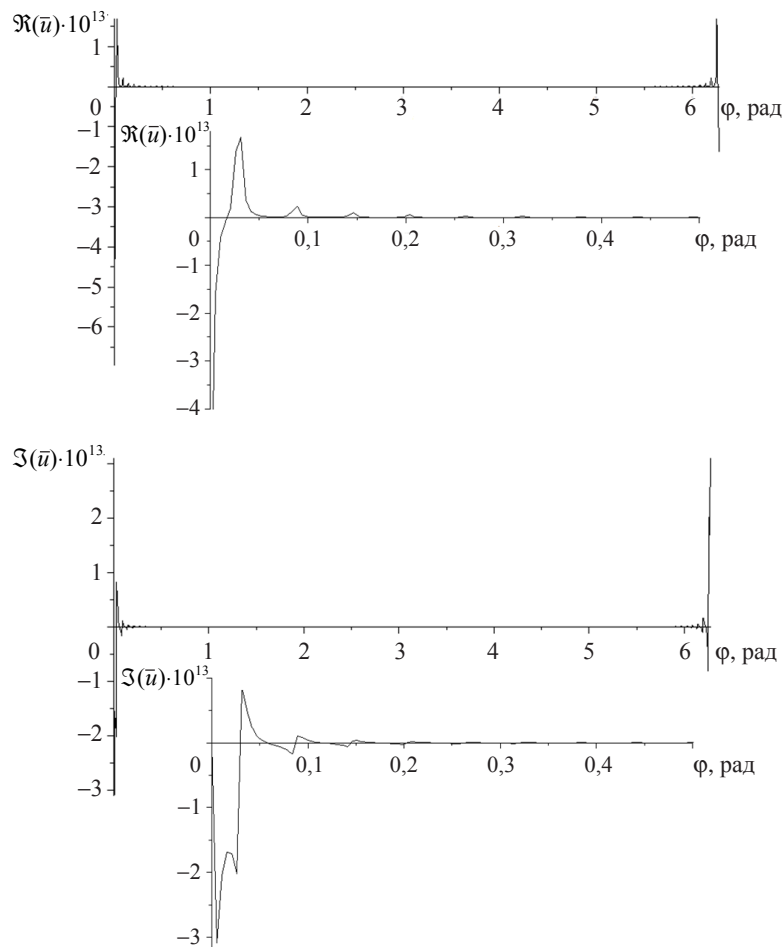


Рис. 1

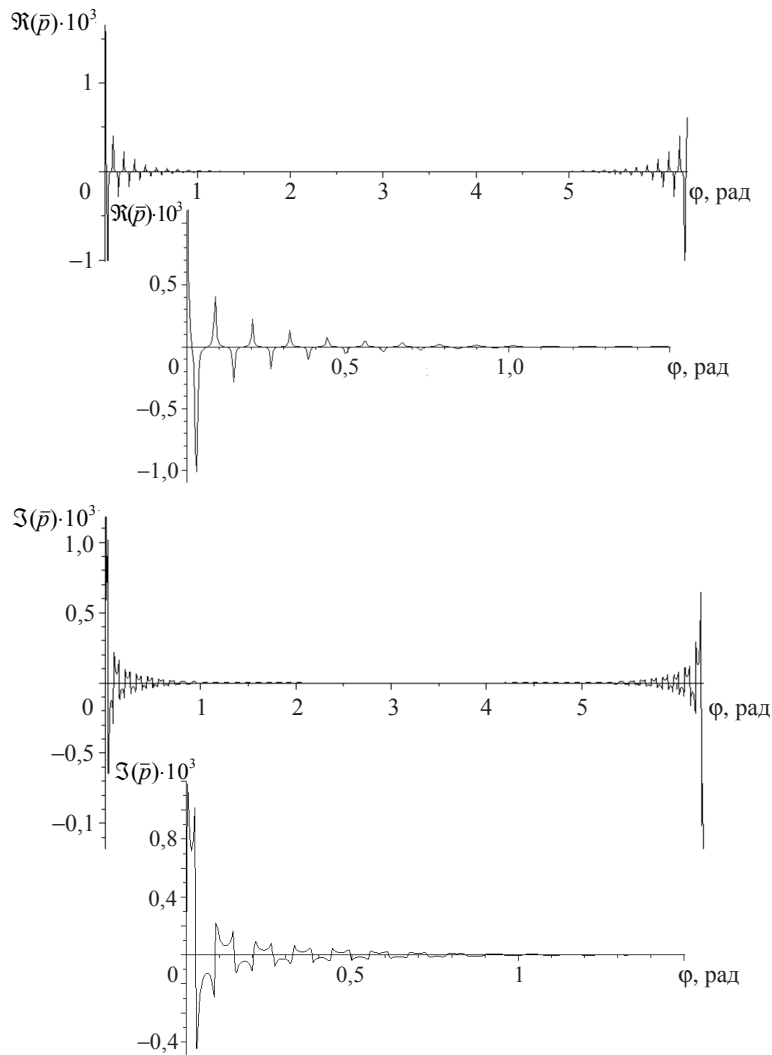


Рис. 2

Обозначим через  $\mathcal{L}$  общее число узлов по углу  $\phi$  (учитывая двукратное использование каждого  $\phi_i$  для двухэтапной схемы Рунге – Кутты), через  $N$  – общее число узлов по времени. Рассмотрим кусочно-равномерную сетку на промежутках  $[0, \pi/2]$ ,  $[\pi/2, 3\pi/2]$ ,  $[3\pi/2, 2\pi]$  для двух модификаций шагового метода с использованием переменного шага по углу (построенных соответственно на основе метода Эйлера и схемы Радо) и равномерную сетку с сохранением общего числа узлов  $\mathcal{L}$  для модификации на узлах схемы Радо.

Результаты обращения для отклика перемещений  $u$  при  $N = \mathcal{L}/2 = 600$  представлены на рис. 3. Красная кривая соответствует схеме Радо и постоянному шагу по углу  $\phi$ ; синяя – модификации традиционного шагового метода с переменным шагом, количество узлов на промежутках – 560, 80, 560; зеленая – модификации на основе схемы Радо с переменным шагом, количество двукратных узлов на промежутках – 280, 40, 280. Здесь и далее для сравнения черным цветом приведен более точный вид решения.

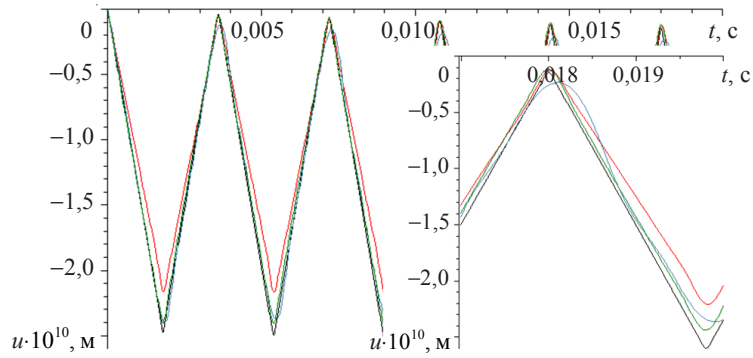


Рис. 3

Аналогично на рис. 4 представлены результаты для  $N = \mathcal{L}/2 = 1200$  с сохранением пропорции количества узлов на промежутках для схем с переменным шагом. Сочетание схемы Радо с переменным шагом интегрирования уже при  $N = \mathcal{L}/2 = 600$  дает характерные осцилляции решения [9], поэтому для расчетов использована модификация на основе формул интегрирования сильно осциллирующих функций (2), (6).

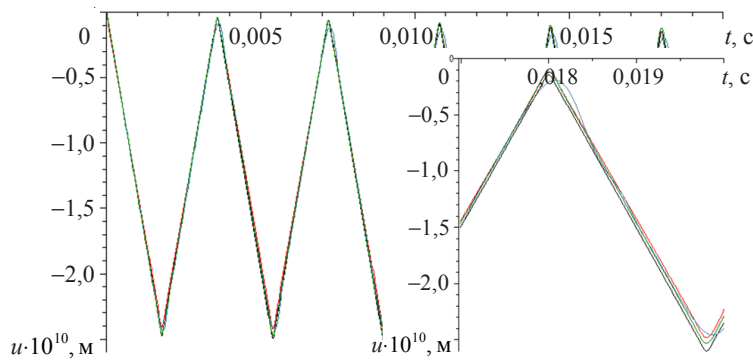


Рис. 4

Традиционный шаговый метод с переменным шагом обнаруживает появление осцилляций только при измельчении сетки до  $N = \mathcal{L}/2 = 2400$ . На рис. 5 представлены результаты, полученные на этой сетке с его помощью (синяя кривая), а также методом на основе схемы Радо с переменным шагом без учета (зеленая кривая) и с учетом (черная кривая) формул интегрирования сильно осциллирующих функций.

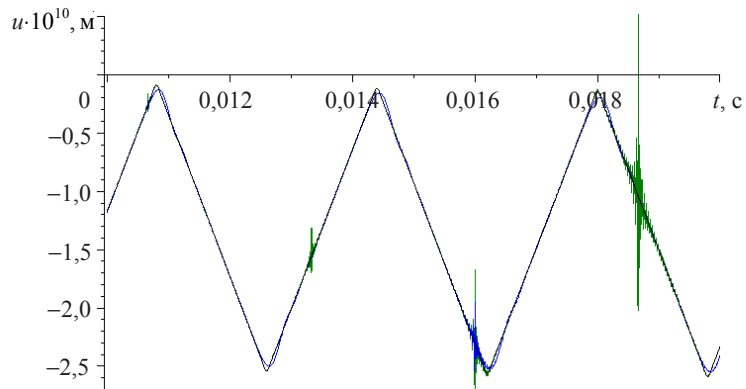


Рис. 5

На рис. 6, 7 представлены графики давления  $p$  при  $N = \mathcal{L}/2 = 600$ ,  $N = \mathcal{L}/2 = 1200$  соответственно; сохранено цветовое обозначение схем, использованное в рис. 3, 4.

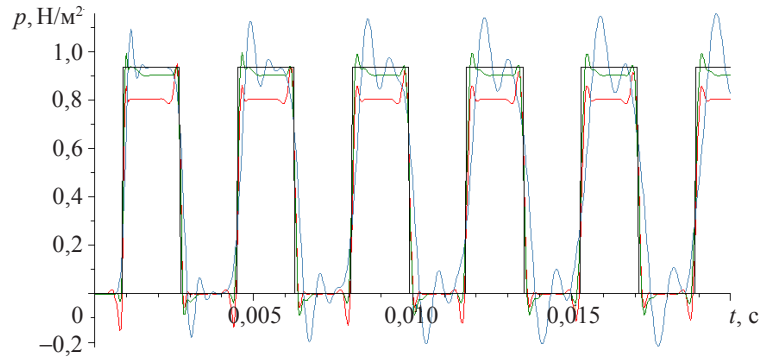


Рис. 6

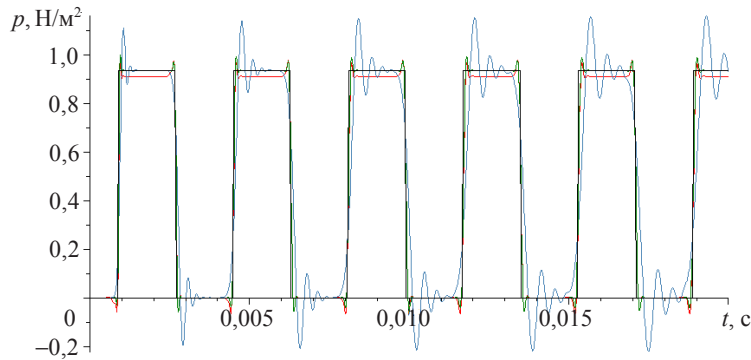


Рис. 7

Применение переменного шага интегрирования по углу  $\varphi$  совместно со схемой Рунге–Кутты позволяет объединить такие достоинства этих подходов, как быстрая сходимость при измельчении сеток, меньший сдвиг решения по времени (запаздывание или опережение) и лучшая передача качественного характера решения. Однако шаговый метод с переменным по  $\varphi$  шагом на основе схемы Рунге–Кутты более чувствителен к измельчению сеток в отношении возникновения паразитных осцилляций, чем метод, основанный на схеме Эйлера, что преодолевается посредством использования формул интегрирования сильно осциллирующих функций.

#### Список литературы

1. *Lubich C.* Convolution quadrature and discretized operational calculus. I // *Numerische Mathematik*. 1988. No 52. P. 129–145.
2. *Lubich C.* Convolution quadrature and discretized operational calculus. II // *Numerische Mathematik*. 1988. No 52. P. 413–425.
3. *Schanz M.* Wave propagation in viscoelastic and poroelastic continua. Berlin: Springer, 2001. 170 p.
4. *Баженов В.Г., Игумнов Л.А.* Методы граничных интегральных уравнений и граничных элементов в решении задач трехмерной динамической теории упругости с сопряженными полями. М.: Физматлит, 2008. 352 с.
5. *Угодчиков А.Г., Хуторянский Н.М.* Метод граничных элементов в механике деформируемого твердого тела. Казань: Изд-во Казанс. ун-та, 1986. 295 с.

6. Белов А.А., Игумнов Л.А., Литвинчук С.Ю. Развитие метода граничных элементов для решения трехмерных контактных нестационарных динамических задач теории упругости // Проблемы прочности и пластичности: Межвуз. сб. / Нижегород. ун-т. 2007. Вып. 69. С. 125–136.

7. Гранично-элементное моделирование на основе квадратур сверток динамического состояния составных упругих тел / А.В. Аменицкий, А.А. Белов, Л.А. Игумнов, С.Ю. Литвинчук // Вычислительная механика сплошных сред. Пермь: Изд-во ИМСС УрО РАН, 2008. Т. 1, №3. С. 5–14.

8. Аменицкий А.В. Развитие методов граничных элементов для численного моделирования динамики трехмерных однородных пороупругих тел: Автореф. дис... канд. физ.-мат. наук. Н.Новгород, 2010. 20 с.

9. Белов А.А., Игумнов Л.А., Литвинчук С.Ю. Гранично-элементная методика на основе модифицированного метода квадратур сверток в динамических задачах упругих тел // Проблемы прочности и пластичности: Межвуз. сб. / Нижегород ун-т. 2008. Вып. 70. С. 150–158.

10. Banjai L. Multistep and multistage convolution quadrature for the wave equation: Algorithms and experiments // SIAM J. Sci. Comput. 2010. 32. P. 2964–2994.

11. Banjai L., Messner M., Schanz M. Runge–Kutta convolution quadrature for the boundary element method // Comput. Methods Appl. Mech. Engng. 2012. P. 90-101.

#### **TIME-STEP METHOD OF LAPLACE TRANSFORMATION NUMERICAL INVERSION BASED ON THE RUNGE – KUTTA SCHEME NODES WITH A VARIABLE STEP OF INTEGRATION**

**L.A. Igumnov, Ya.Yu. Rataushko**

The paper is dedicated to the development of time-step method for numerical inversion of Laplace transformation, based on the original function integration theorem. Derived stepping scheme is determined by the choice of quadrature formula with a key and the choice of numerical solution scheme for Cauchy problem, which arises for the Volterra integral. Quadrature formula with a key is a result of special highly oscillatory integration. The approach is used to numerically obtain displacement & pore pressure originals for a one-dimensional poroelastic problem.

*Keywords:* Laplace transformation inversion, time-step method, Runge – Kutta scheme, highly oscillatory quadrature, one-dimensional poroelastic problem.